

光泵谐振法检验激光谐振腔

周国生 王持正

(山西大学物理系)

文献[1]介绍了利用 He-Ne 激光调节谐振腔的方法。他们认为:透过谐振腔的激光模式高,基模强度大,则表示腔体已调节好。目前国内有些单位利用此方法制作 He-Ne 激光管。但是,有关机理还需要进一步澄清,实验验证也还需进一步完善。文献[2]介绍了另一种方法。他们利用扫频激光射入待调谐振腔,并用示波器测量透射光的峰值。实验证明,通过准直腔体的透射光的峰值功率为极大。本文介绍利用普通 He-Ne 激光射入谐振腔,根据透过腔体的激光模图的对称性及透射光峰值极大这二个标准,定性检验谐振腔。本文的目的在于阐述现象的物理机理,同时根据实验及简单的理论,提出检验谐振腔平行度的标准,并且讨论与输出激光模式间的联系。

一、机 理

检验谐振腔的实验装置如图 1 所示。 L_1 是普通 He-Ne 激光管, L_2 是待调准激光谐振腔,利用屏接收透过待调腔的激光,凭肉眼观察模图。其物理机理如下:

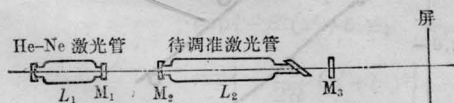


图 1 实验装置

1) L_1 和 L_2 间是二谐振腔的非匹配耦合。

根据理论^[3],当 L_1 、 L_2 的截面无穷,互

相共轴,腔镜与光轴严格垂直时,则由 L_1 入射基模激光到 L_2 ,将在 L_2 腔内分解成频率相同的 TEM_{00} 模及一系列偶数模,其中基模的耦合系数最大。

在实验装置中,由 L_1 注入待调谐振腔 L_2 的,是经过光阑(L_2 的毛细管)、边缘已被削去的“基模”,而且 L_1 和 L_2 可能不完全共轴。附录中计算指出:(1)当 L_1 、 L_2 严格共轴,腔镜与光轴垂直时,入射的削了边的基模在 L_2 腔内分解成频率相同的 TEM_{00} 模及一系列偶数模,其中以基模的耦合系数最大。(2)当 L_1 光轴与 L_2 管轴平行而不共轴,或 L_1 、 L_2 不共轴,则入射的削了边的基模在 L_2 中将分解成 TEM_{00} 模及一系列奇、偶次模,并且随着腔镜 M_3 倾角的增大, TEM_{00} 模的耦合系数变小。

2) 文献[4]推导了以细激光束斜入射到准直的球镜干涉仪中去时腔的法布里-珀罗透射率公式。用完全相同的方法,注意到腔的本征模在腔中往复一周位相差改变为 2π 的整数倍^[5],而非本征模在腔中往复一周,位相改变不是 2π 的整数倍,同样可以证明,当入射到腔中光束的模和频率与谐振腔的模和谐振频率相同时,谐振腔的法布里-珀罗透射率最大(不同模的谐振频率不同)。所以谐振腔 L_2 是一选频器、选模器。

3) L_1 激光器在使用过程中,由于热效应,有显著的频率漂移。激光管温度每升高 1°C ,频率漂移 $\Delta\nu \sim 10^3$ 兆周(设玻璃的热胀

收稿日期:1978年11月29日。

系数为 3.0×10^{-6}); 因此入射到 L_2 中的激光频率随时间不断改变。当经分解后的入射光的频率与模恰巧和 L_2 腔的谐振频率与模相同时, 该模的透射率达极大, 在屏上即出现该模的图样。于是, 随着时间的推移, 屏上依次出现不同的模图。因此我们将这方法称为“光泵谐振法”检验谐振腔。

二、实 验

实验装置与图 1 相同, L_2 是毛细管内径为 3 毫米的半内腔管, M_2 是曲率半径为 2 米的全反镜, 二镜间距为 910 厘米。调节 L_2 使注入 L_2 的激光束与 L_2 共轴(这可由透过 M_2 、 L_2 后的激光衍射图的对称性观察出来)。 M_3 是平面反射镜, 它的倾角可调。在 M_3 的不同倾角下, 摄制了透射模图(图 2), 并测量了各种模的透射光的强度。最后, 将 L_2 点燃, 拍摄 L_2 发出的激光模式(图 2) 并测量了功率。

实验结果如下:

(1) 当透射光的模只出现偶次模: TEM_{00} 、 TEM_{02} 、... (图 2), 且透射的基模光强度峰值最大(与腔镜 M_3 位于其它倾角时的基模光强峰值相比), 则 L_2 的反射镜与光轴垂直。此结果与理论相符。这时 L_2 的输出功率最大。但该待调激光管发射的是

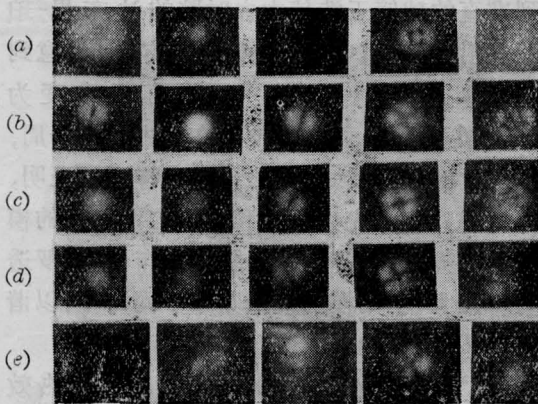


图 2 腔镜 M_3 倾角变化时, 透射光模图与输出激光模式图(图中第一列)
(*该模图是经放大后拍摄的)

r - φ 对称的 TEM_{01} 混合模。这是因为毛细管内径约为基模光斑尺寸的 5 倍。当镜 M_3 的倾角 $\theta < 1.2'$ 时, L_2 发射 TEM_{01} 混合模(见图 2a 第一张照片)。

(2) 当镜 M_3 的倾角 $1.2' < \theta < 1.3'$ 时, L_2 发射 TEM_{01} 模, 透射光模图中出现 TEM_{01} 模以及 TEM_{11} 、 TEM_{21} , 甚至更高阶模(图 2b)。

(3) 当镜 M_3 的倾角 $1.3' < \theta < 1.7'$ 时 L_2 发射基模, 这时透射光模图与(2)相似, 但对称性比(2)差(图 2c)。

(4) 当镜 M_3 的倾角 $1.7' < \theta < 2.2'$ 时, L_2 发射 X - Y 对称模, 这时透射光模图明显不对称, 有 TEM_{02} 、 TEM_{21} , ... 模, 透射的基模光强度更弱(图 2d)。

(5) 当镜 M_3 的倾角 $\theta > 2.2'$ 时, L_2 不发射激光。透射光的模图特点是不存在明晰的低阶模, 图形杂乱, 光很弱(图 2e)。

总之, 随着镜 M_3 倾角的增大, 透射光模图的对称性变差。

图 3 是输出光强度(I)、透射光基模强度

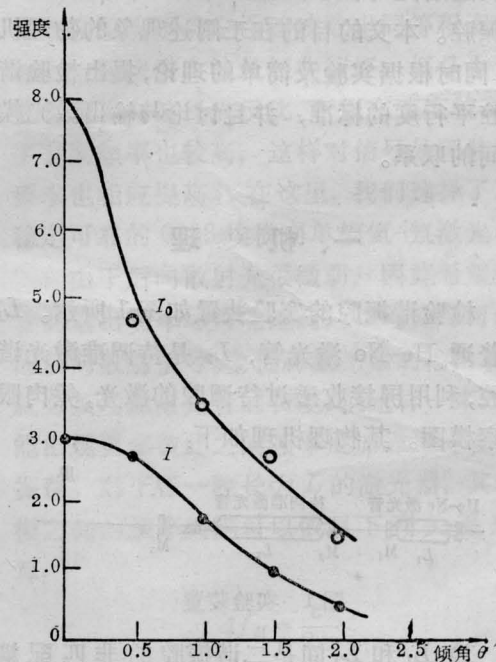


图 3 透射光基模最大强度 I_0 、激光功率 I 对 M_3 倾角的关系曲线(图中都是相对坐标)

峰值(I_0)对腔镜 M_3 倾角 θ 的关系。随着透射光基模强度峰值的增大, 输出激光功率亦随之增大。此结论与附录计算结果定性相符, 也与文献[2]结果定性符合。取透射光基模强度峰值, 是因为透射光强度有明显的涨落。由于谐振腔透射率带宽比光泵激光的带宽大得多, 腔对不同频率的激光的透射率不同; 另外 M_1 、 M_2 间也有“谐振”现象, 使注入腔内的激光强度有明显的涨落。

单独根据透射光模图, 不足以决定待调准激光管 L_2 未来发射激光的模式, 尤其是在两种模式转变点附近。因为透射光模图和透射光峰值的变化一般是连续的, 而激光管的各模式间有竞争效应, 有突变。如若同时结合腔的几何参数等因素, 加以综合考虑, 在某些典型的情况下, 可凭经验判断输出激光的模式。譬如选毛细管内径近似等于光斑尺寸的 3.3 倍, 当透射模图是对称模式时, 则激光管输出一定是基模。

附录 非共轴谐振腔的非匹配耦合

截面无界的共轴谐振腔的非匹配耦合已见文献[3]。现讨论在耦合面上和距此面 L_2 处有光阑(半径为 r)的非共轴谐振腔的非匹配耦合。设入射激光在 x 方向的场分布为 $U_m(x, z)$ 。它的光轴为 oz 。费涅耳数趋于无穷的谐振腔的光轴为 $o'z'$ (见图 4)。它的正交归一化的场分布为 $U'_{m'}(x')$ 。设 $b \ll l$, $\alpha \ll 1$, $oo' = b$ 。入射激光在 $o'x'$ 平面上的 x 方向的场分布可近似表示为:

$$U_{mn}(x, y, z) \Big|_{z'=0} = C_{mn}^{(1)} H_m \left[\sqrt{2} \beta x' + \sqrt{2} \beta b' \right] \cdot \exp \left\{ -\beta^2 (x' + b')^2 \right\} \cdot \exp \left\{ -\frac{ik}{2R} (x' + b')^2 \right\}$$

这里 $\beta = \frac{1}{w}$, 是光斑尺寸的倒数。 $b' = b + \left(\frac{L}{2} + l \right) \alpha$, R 是入射波的波面曲率半径。

与文献[3]的方法相同, 可将 U_{mn} 在 $z'=0$ 处按 $U'_{m'}(x')$ 分解, 得:

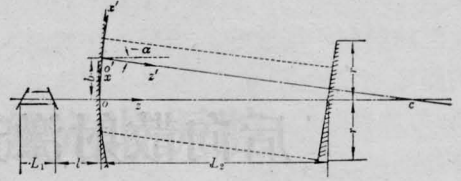


图 4 非共轴谐振腔的非匹配耦合

$$U_m(x) = \sum_{m'} C_{mm'} U'_{m'}(x')$$

耦合系数 $C_{mm'}$ 由下式表示:

$$C_{mm'} = C_m^{(1)} C_{m'} \int_{-(r+b')+\alpha L}^{r-b'} H_m(\sqrt{2} \beta x' + \sqrt{2} \beta b') \cdot H_{m'}(\sqrt{2} \beta' x') \cdot \exp \left\{ -\beta^2 (x' + b')^2 - \beta'^2 x'^2 - \frac{ik}{2R} (x' + b')^2 - \frac{ik}{2R'} x'^2 \right\} dx'$$

设入射光为基模, 则在 x 方向二低阶耦合系数为:

$$C_{00} = C_0^{(1)} C'_0 e^{+\frac{p^2}{q} - b'^2(\beta^2 + \frac{ik}{2R})} \frac{\sqrt{\pi}}{2\sqrt{q}} [\Phi(a_1) + \Phi(a_2)]$$

$$q = \beta^2 + \beta'^2 - \frac{ik}{2R} - \frac{ik}{2R'}$$

$$p = b' \left[\beta^2 + \frac{ik}{2R} \right]$$

$$a_1 = \sqrt{q} (r - b') + \frac{p^2}{\sqrt{q}}$$

$$a_2 = -\sqrt{q} (r + b') + \frac{p^2}{\sqrt{q}} + \alpha L_0$$

$$\Phi(x) = \frac{2}{\sqrt{\pi}} \int_0^x e^{-t^2} dt$$

$$C_{01} = C_0^{(1)} C'_1 e^{+\frac{p^2}{q} - b'^2(\beta^2 + \frac{ik}{2R})} \left(-\frac{\sqrt{2} \beta'}{q} \right) \cdot \left\{ e^{-\sqrt{q} a_1} - e^{-\sqrt{q} a_2} + \sqrt{\pi} \frac{p}{\sqrt{q}} [\Phi(a_1) + \Phi(a_2)] \right\}$$

显然, 若入射激光与谐振腔共轴, $\alpha = 0$, $b = 0$, 则 $C_{01} = 0$ 。根据对称性, 也可以证明, 在此条件下, 奇次模的耦合系数为零。

参 考 文 献

- [1] “调准 He-Ne 气体激光管谐振腔的一种方法”, 《激光》, 1975, 2, No 1, 41~43。
- [2] K. G. Herngvist, A. H. Firester; *Rev. Sci. Instrum.*, 1975, 46, 1040.
- [3] H. Kogelnik; *Proceedings of the Symposium on Quasi-Optics* (Polytechnic Press, 1964), 333,
- [4] D. Herriott, H. Kogelnik, R. Kompfner; *Appl. Opt.*, 1964, 3, 523.
- [5] A. G. Fox, T. Li; *Bell. Sys. Tech. J.*, 1961, 40, No. 2, 453~488.